

Sintonia de Ganhos para Leis de Controle Não-Lineares em Robôs Móveis de Tração Diferencial

Matheus Lucas Tavares de Farias

11 de Agosto de 2025

Automação Inteligente

Introdução

- Desempenho do controle depende da sintonia adequada dos ganhos.
- Ganhos influenciam:
 - Estabilidade
 - Desempenho
 - Resposta a perturbações
- Sintonia exige considerar:
 - Critérios de desempenho
 - Limitações físicas do sistema (velocidades máxima linear e angular)

Introdução — Objetivos e Metodologia

- Objetivo: ajuste de ganhos para três leis de controle não-lineares.
- Comparação de abordagens:
 - Otimização não-linear com restrições via *fmincon*
 - Algoritmo genético *SpeedyGA*
- Implementação:
 - Linguagem: Python
 - Modelo: *unicycle*
 - Robô de referência: Pioneer 3-DX

Métodos de Otimização

Métodos de Otimização

- Processo de encontrar a melhor solução para um problema, respeitando restrições e critérios.
- Envolve ajustar variáveis de decisão para:
 - Minimizar ou maximizar uma função objetivo (custo, erro, desempenho).
- Aplicações na sintonia de controladores:
 - Evita tentativa e erro.
 - Busca soluções de forma sistemática e eficiente.
- Neste trabalho:
 - Método tradicional baseado em gradiente (`scipy.optimize.minimize`)
 - Método heurístico (*SpeedyGA*)

Otimização com Restrições — SLSQP (fmincon)

- Implementado em Python com `scipy.optimize.minimize` (SLSQP).
- Resolve problemas de otimização contínua com restrições.
- Minimiza função custo que representa:
 - Erro de posição
 - Tempo de chegada ao destino
 - Combinação ponderada desses fatores
- Restrições:
 - Limites físicos e operacionais.
 - Condições de estabilidade e segurança.
- Vantagens:
 - Simples e rápido para espaços de busca bem comportados.
- Limitação: sensível a mínimos locais.

- Inspirados na seleção natural e evolução biológica.
- Operam sobre população de soluções candidatas.
- Etapas principais:
 1. Inicialização
 2. Avaliação (*fitness*)
 3. Seleção
 4. Cruzamento (*crossover*)
 5. Mutação
 6. Substituição
- Garantem diversidade e evitam soluções subótimas.

- Baseado na implementação de Burjorjee.
- Adaptado de MATLAB para Python.
- Cada indivíduo: sequência binária representando ganhos do controlador.
- Vantagens:
 - Busca global.
 - Pouco sensível a mínimos locais.
 - Não requer derivadas.
- Limitação: maior custo computacional em simulações complexas.

Modelo Cinemático e Leis de Controle

Modelo Cinemático — Unicycle

- Representa robôs móveis de tração diferencial.
- Captura restrições não-holonômicas.
- Equações do modelo:

$$\begin{cases} \dot{x} = v \cos \theta \\ \dot{y} = v \sin \theta \\ \dot{\theta} = \omega \end{cases}$$

- Estados: (x, y, θ) — posição e orientação.
- Entradas de controle:
 - Velocidade linear v
 - Velocidade angular ω

Variáveis de Erro

- Controle *go-to-goal* baseado no referencial do robô.
- Alvo: (x_g, y_g) .
- Variáveis:

$$\begin{cases} e = \sqrt{(x_g - x)^2 + (y_g - y)^2} \\ \alpha = \arctan\left(\frac{y_g - y}{x_g - x}\right) - \theta \end{cases}$$

- e : erro de posição (distância até o alvo).
- α : erro de orientação (ângulo em relação ao alvo).

$$\begin{cases} v = \gamma e \cos \alpha \\ \omega = k\alpha + \frac{v}{e\alpha} \sin \alpha (\alpha + h(\alpha + \theta)) \end{cases}$$

- Parâmetros de controle:
 - γ
 - k
 - h
- Objetivo: garantir convergência do robô ao alvo com estabilidade.

Karim et al. (2013):

$$\begin{cases} v = K_v e \cos \alpha \\ \omega = K_\omega \alpha + \frac{v}{e} \sin \alpha \end{cases}$$

- Parâmetros: K_v , K_ω

Breno et al. (2023):

$$\begin{cases} v = \tau e \cos \alpha \\ \omega = \kappa \alpha + \frac{v}{e} \sin \alpha \end{cases}$$

- Parâmetros: τ , κ

Resultados

Configuração dos Testes

- Definições para execução:
 - Cena de teste padronizada.
 - Restrições físicas do Pioneer 3-DX:
 - Velocidade linear máx: $v_{max} = 1.2$ m/s
 - Velocidade angular máx: $\omega_{max} = 300^\circ/\text{s}$
 - Intervalo de ganhos: $[0, 4]$

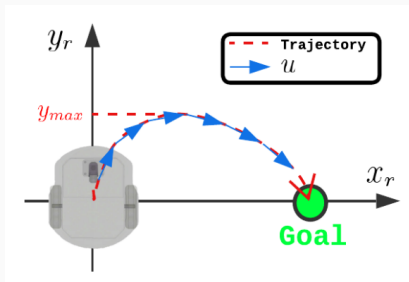


Figura 1: Cena de teste utilizada

- No SpeedyGA, cada indivíduo é codificado como uma sequência binária.
- Conversão para valor real:

$$x_{real} = \frac{4}{2^{n_{bits}} - 1} \cdot x_{inteiro}$$

- Configuração utilizada:
 - $n_{bits} = 20$ (por ganho), conforme.
 - Representação inteira sem sinal.
 - Mapeamento para faixa de $[0, 4]$.
- Vantagem: flexibilidade para representar valores contínuos.

Funções Objetivo e Ajuste

- Função objetivo definida para cada abordagem, considerando restrições do modelo.
- Diferença entre métodos:
 - **Otimização tradicional** (SLSQP): função de custo \rightarrow valores menores indicam melhor desempenho.
 - **Algoritmo genético** (SpeedyGA): função de ajuste (*fitness*) \rightarrow valores maiores indicam melhor desempenho.
- Relação geral:

$$\text{Função de custo} \approx -\text{Função de ajuste}$$

- Permite comparação coerente entre métodos diferentes.

- Referência não define método de otimização.
- Função de ajuste definida neste trabalho:

$$F = \frac{1}{|\max(v) - v_{ref}|} + \frac{1}{|\max(\omega) - \omega_{ref}|}$$

- Objetivo: manter velocidades máximas próximas aos valores de referência:

$$v_{ref} = 1.2 \text{ m/s}, \quad \omega_{ref} = 300^\circ/\text{s}$$

- Função de custo (para *fmincon*):

$$J = -F$$

- População: 200 indivíduos
- Gerações: 40
- Probabilidade de mutação: 3%
- Probabilidade de *crossover*: 100%

Método	γ	k	h
<i>SpeedyGA</i>	1.63	3.33	3.47
<i>fmincon</i>	3.38	2.74	2.26

Método	$\max(v)$	$\max(\omega)$
<i>SpeedyGA</i>	1.20	300.00
<i>fmincon</i>	2.17	300.00

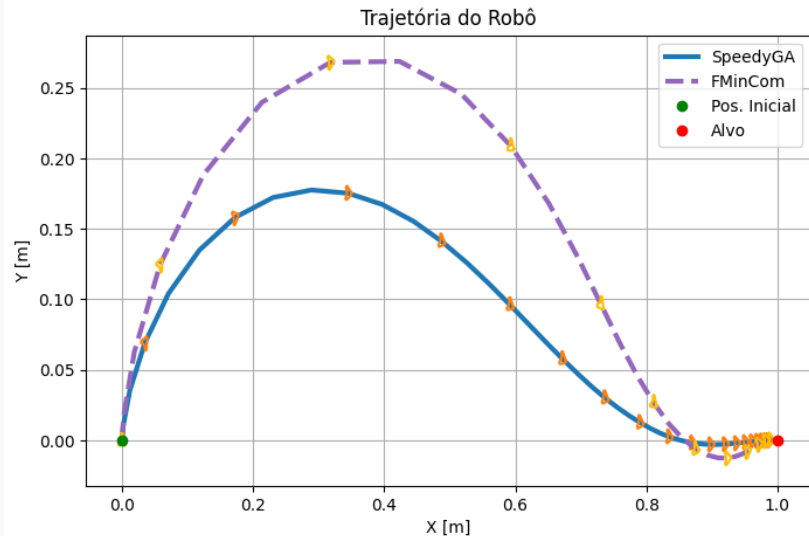


Figura 2: Trajetórias obtidas

- Referência propõe:

$$J = \frac{1}{2} \int \left(\frac{e}{e_o} \right)^2 + \left(\frac{\alpha}{\alpha_o} \right)^2 dt$$

- Onde:
 - e_o : erro inicial de posição
 - α_o : erro inicial de orientação
- Objetivo: minimizar erros de posição e orientação no menor tempo.
- Limitação: não considera restrições físicas do robô.

- Acrescentados termos para considerar limites físicos:

$$J = \frac{1}{2} \int \left(\frac{e}{e_o} \right)^2 + \left(\frac{\alpha}{\alpha_o} \right)^2 dt - \frac{1}{|\max(v) - v_{ref}|} - \frac{1}{|\max(\omega) - \omega_{ref}|}$$

- Função de ajuste associada:

$$F = -J$$

- Valores de referência:

$$v_{ref} = 1.2 \text{ m/s}, \quad \omega_{ref} = 300^\circ/\text{s}$$

- **Configuração do SpeedyGA:**

- População: 100 indivíduos
- Gerações: 100
- Mutação: 3%
- *Crossover*: 100%

Método	K_v	K_ω
<i>SpeedyGA</i>	1.70	3.33
<i>fmincon</i>	1.87	2.21

Método	$\max(v)$	$\max(\omega)$
<i>SpeedyGA</i>	1.20	300.00
<i>fmincon</i>	1.20	199.00

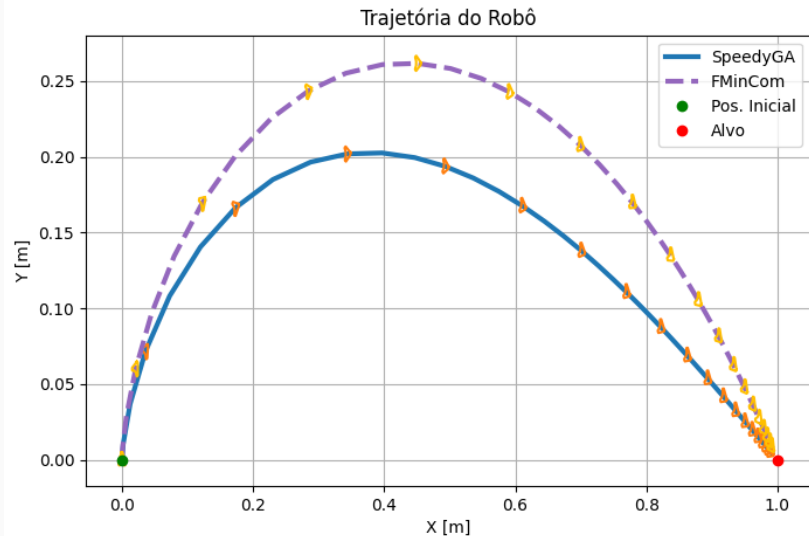


Figura 3: Trajetórias obtidas

Função de ajuste original:

$$F = \frac{1}{|\max(y) - y_{ref}|} + \frac{1}{|\max(v) - v_{ref}|}$$

- Objetivo: manter $\max(y)$ e $\max(v)$ próximos dos valores de referência:

$$v_{ref} = 1.2 \text{ m/s}, \quad y_{ref} = 0.15 \text{ m}$$

- Limitação: não considera a velocidade angular.

Função de ajuste modificada:

$$F = \frac{1}{|\max(y) - y_{ref}|} + \frac{1}{|\max(v) - v_{ref}|} + \frac{1}{|\max(\omega) - \omega_{ref}|}$$

- Agora inclui a restrição de $\max(\omega)$.
- Função de custo:

$$J = -F$$

- **Configuração do SpeedyGA:**

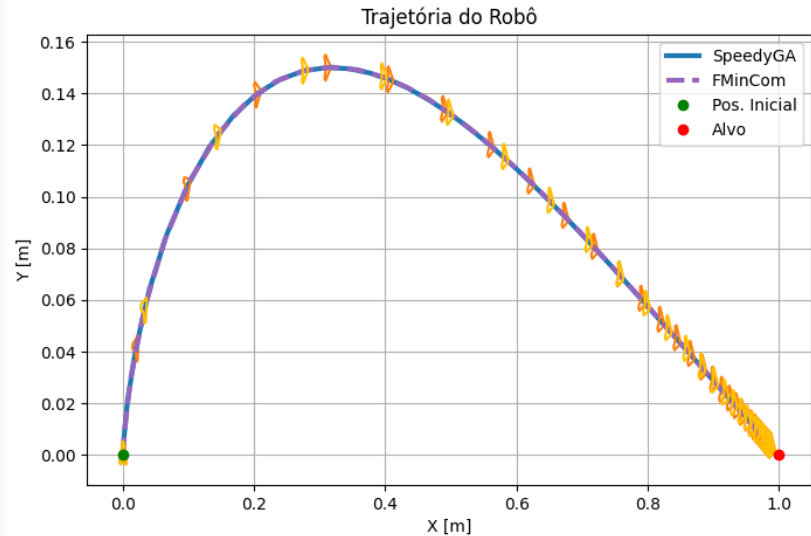
- População: 200 indivíduos
- Gerações: 40
- Mutação: 3%
- Crossover: 100%

Abordagem de Breno et al. - Ganhos obtidos e Máximos

Método	τ	κ
<i>SpeedyGA</i>	0.97	3.24
<i>fmincon</i>	1.21	3.96

Método	$\max(y)$ [m]	$\max(v)$ [m/s]	$\max(\omega)$ [°/s]
<i>SpeedyGA</i>	0.15	0.76	291.83
<i>fmincon</i>	0.15	0.93	356.32

Trajetórias - Abordagem de Breno et al.



Conclusão

- Os ganhos obtidos pelos diferentes métodos apresentaram discrepâncias, mas isso não representa necessariamente um problema.
- Diversas combinações de ganhos podem gerar desempenhos equivalentes.
- A maioria das soluções manteve o comportamento do modelo dentro dos limites físicos.
- Exceção: *fmincon* na abordagem de Breno *et al.* excedeu o limite de velocidade angular.

- O bom desempenho geral está associado à escolha adequada das funções objetivo.
- Essas funções induziram a consideração das restrições físicas no processo de otimização.
- Fora a exceção citada, ambos os algoritmos mostraram eficácia equivalente.
- *SpeedyGA* apresentou menor tempo para alcançar o alvo, mas sem impacto significativo no desempenho global.

- O algoritmo genético demanda mais tempo de execução que o baseado em gradiente.
- Quando a otimização é feita *offline*, essa diferença não afeta o uso prático.
- A escolha do algoritmo deve considerar:
 - Tempo de execução
 - Robustez frente a mínimos locais
 - Familiaridade com as ferramentas

Referências

-  Aicardi, M., Casalino, G., Bicchi, A., & Balestrino, A. (1995). *Closed loop steering of unicycle-like vehicles via Lyapunov techniques*.
IEEE Robotics & Automation Magazine, 2(1), 27–35.
-  Benbouabdallah, K., & Zhu, Q. (2013). *Improved Genetic Algorithm Lyapunov-Based Controller for Mobile Robot Tracking a Moving Target*.
Research Journal of Applied Sciences, Engineering and Technology, 5(15), 4023–4028.
-  de Meneses, B. P., da Silva, G. H. V., Sobral, L. R., Marques, M. S., de Araujo, R. T., & Lima, A. M. N. (2023). *Navigation of a two-wheel differential drive robot in a partially unknown environment*.
In Simpósio Brasileiro de Automação Inteligente (SBAI), 1(2).

Referências (cont.)



SciPy Community. (2025).

scipy.optimize.minimize – Minimization of scalar function of one or more variables.

Disponível em: <https://docs.scipy.org/doc/scipy/reference/generated/scipy.optimize.minimize.html>

Acessado em: 06 ago. 2025.



Burjorjee, K. (2025).

SpeedyGA: A Fast Simple Genetic Algorithm.

MATLAB Central File Exchange. Disponível em: <https://www.mathworks.com/matlabcentral/fileexchange/15164-speedyga-a-fast-simple-genetic-algorithm>

Acessado em: 06 ago. 2025.

Obrigado!

Perguntas?